

Магнитная анизотропия сверхрешеток Co/Cu (111): расчет и эксперимент

К.В. Кутько, А.И. Каплиенко, Э.П. Николова, А.Г. Андерс

Физико-технический институт низких температур им. Б.И. Веркина НАН Украины
пр. Ленина, 47, г. Харьков, 61103, Украина
E-mail: kkutko@ilt.kharkov.ua

В.В. Зорченко, А.Н. Стеценко

Национальный технический университет «Харьковский политехнический институт»
ул. Фрунзе, 21, г. Харьков, 61002, Украина

М. Kajňakova

Center of Low Temperature Physics, Faculty of Sciences, P.J. Šafárik University
Park Angelinum, 9, Košice, 04154, Slovakia

Статья поступила в редакцию 16 июня 2009 г., после переработки 30 июня 2009 г.

Приведены результаты теоретических расчетов и экспериментальные данные для эффективной магнитной анизотропии K_{eff} (полученные из измерений ферромагнитного резонанса) сверхрешеток $[\text{Co} (8 \text{ \AA})/\text{Cu} (d_{\text{Cu}})]_{20}$ ($d_{\text{Cu}} = 7\text{--}22 \text{ \AA}$) с когерентным сопряжением слоев Co и Cu, изготовленных методом магнетронного распыления. Экспериментальные значения K_{eff} являются осциллирующей функцией толщины медных прослоек d_{Cu} . Качественное поведение расчетной и экспериментальной зависимостей $K_{\text{eff}} (d_{\text{Cu}})$ подобно, наблюдается устойчивый рост параметра K_{eff} при увеличении толщины немагнитных слоев (на фоне осцилляций экспериментальной кривой), что является прямым следствием нарастания аксиальных искажений исходной кубической структуры кобальта в условиях псевдоморфизма. Также обсуждаются причины появления осцилляций K_{eff} , основной из которых является осциллирующее поведение шероховатости границ раздела слоев с ростом d_{Cu} , приводящее к синхронным осцилляциям K_{eff} , удельного сопротивления, магнитосопротивления и ширины линии ферромагнитного резонанса.

Наведено результати теоретичних розрахунків і експериментальні дані для ефективної магнітної анізотропії K_{eff} (отримані з вимірювань феромагнітного резонансу) надграток $[\text{Co} (8 \text{ \AA})/\text{Cu} (d_{\text{Cu}})]_{20}$ ($d_{\text{Cu}} = 7\text{--}22 \text{ \AA}$) з когерентним спряженням шарів Co і Cu, які виготовлені методом магнетронного розпилення. Експериментальні значення K_{eff} є осцилюючою функцією товщини мідних прошарків d_{Cu} . Якісна поведінка розрахункової експериментальної залежності $K_{\text{eff}} (d_{\text{Cu}})$ подібна, спостерігається стійке зростання параметра K_{eff} при збільшенні товщини немагнітних шарів (на фоні осциляцій експериментальної кривої), що є прямим наслідком зростання аксіальних викривлень вихідної кубічної структури кобальту в умовах псевдоморфізму. Також обговорюються причини появи осциляцій K_{eff} , основною з яких є осцилююча поведінка шорсткості границь поділу шарів при збільшенні d_{Cu} , що приводить до синхронних осциляцій K_{eff} , питомого опору, магнітоопору й ширини лінії феромагнітного резонансу.

PACS: 75.70.-i Магнитные свойства тонких пленок и поверхностей;
75.30.Gw Магнитная анизотропия;
76.50.+g Ферромагнитный, антиферромагнитный и ферримагнитный резонанс.

Ключевые слова: магнитные сверхрешетки, ферромагнитный резонанс, магнитная анизотропия, псевдоморфное состояние.

1. Введение

В настоящее время не ослабевает интерес к изучению многослойныхnanoструктур, образованных последовательным чередованием магнитных и немагнитных слоев. Это связано как с возможностью практического использования таких систем в качестве магниторезисторов (эффект гигантского магнитосопротивления), элементов устройств спинtronики и техники магнитной записи информации, так и с недостаточным уровнем разработки многих вопросов физики магнитных мультислоев. Одним из таких вопросов является магнитная анизотропия подобных систем.

В общем случае магнитная анизотропия имеет сложный характер, в нее входят поверхностная, магнитодипольная, магнитокристаллическая и магнитоупругая составляющие. Суперпозиция данных компонент определяет результирующие величину и знак магнитной анизотропии исследуемой системы. Поэтому исследования по установлению механизмов формирования магнитной анизотропии в конкретных многослойных системах являются актуальными.

Одним из информативных методов таких исследований является ферромагнитный резонанс (ФМР), поскольку параметр анизотропии непосредственным образом определяет резонансную частоту (или резонансное поле) спектра ФМР.

В данной работе анализировалась величина констант магнитной анизотропии, полученных из спектра ферромагнитного резонанса для серии многослойных образцов системы $[Co/Cu]_{20}$, в которых толщина слоев кобальта сохранялась фиксированной $d_{Co} = 8 \text{ \AA}$, а толщина немагнитного слоя меди изменялась от 7 до 22 \AA с шагом в $1-2 \text{ \AA}$. Целью работы было установление физических механизмов, ответственных за формирование константы магнитной анизотропии данной системы, и количественное определение составляющих ее вкладов.

2. Образцы и методика эксперимента

Исследуемые образцы получены магнетронным распылением на слюду (фторфлогопит) мишней из Co и Cu в вакуумной установке с остаточной атмосферой $\sim 10^{-6}$ Торр при давлении аргона $1,3 \cdot 10^{-3}$ Торр. Толщины слоев определялись с помощью многолучевой оптической интерферометрии с точностью не хуже 2%. Сначала на слюду конденсировался подслой меди (50 \AA), на котором формировались 20 бислоев Co/Cu, причем верхний слой меди для всех образцов составлял $12,5 \text{ \AA}$.

Образцы имели поликристаллическую структуру, в которой плоскости (111) были параллельными поверхностями подложки без каких-либо выделенных ориентаций других кристаллографических плоскостей зерен

относительно слюды. Слои меди и кобальта имели ГЦК структуру и нарастили друг на друге эпитаксиально. На толщине образца укладывается только одно зерно, причем границы зерен проходят через всю толщину образца практически перпендикулярно к поверхности слюды. Размеры зерен приблизительно $80-100 \text{ \AA}$ независимо от d_{Cu} .

Спектр ФМР для направлений внешнего магнитного поля по нормали к плоскости пленки и вдоль плоскости исследовался для всех образцов выбранной серии. Измерения проводились при комнатной температуре на фиксированной частоте $\omega/\gamma = 3,101 \text{ кГц}$; здесь $\gamma = g|e|/2mc$ — гиромагнитное отношение, эффективный g -фактор кобальта равен 2,16. Исследования показали отсутствие анизотропии в плоскости пленок [1]. В работе [2] приведены значения внутренних эффективных полей для всех образцов серии, полученные из данных резонансных измерений, что позволяет определить эффективную анизотропию K_{eff} (см. ниже).

3. Резонансные поля и эффективная анизотропия пленки

Плотность свободной энергии тонкого ферромагнитного слоя с намагниченностью M , помещенного во внешнее магнитное поле H , может быть записана в сферической системе координат в виде

$$E = -MH[\cos \theta \cos \theta_H + \sin \theta \sin \theta_H \cos(\phi - \phi_H)] + K \sin^2 \theta \cos^2 \phi - 2\pi M^2 \sin^2 \theta \cos^2 \phi, \quad (1)$$

где первое слагаемое описывает зеемановское взаимодействие магнитного момента с полем, второе — энергию анизотропии с параметром K и третье — магнитодипольную энергию, θ и θ_H — углы между нормалью к плоскости слоя и векторами момента и внешнего поля соответственно, ϕ и ϕ_H — углы, которые образуют эти векторы с выделенной осью в плоскости.

Частоты ферромагнитного резонанса рассчитываются в соответствии с [3]:

$$\left(\frac{\omega}{\gamma}\right)^2 = \frac{1}{M^2 \sin^2 \theta_0} \left[\frac{\partial^2 E}{\partial \theta^2} \frac{\partial^2 E}{\partial \phi^2} - \left(\frac{\partial^2 E}{\partial \theta \partial \phi} \right)^2 \right], \quad (2)$$

где вторые производные вычисляются для равновесных углов θ_0 и ϕ_0 [4]. Как сказано выше, в исследованных нами образцах анизотропия в плоскости пленки отсутствует, поэтому углы ϕ_0 и ϕ_H совпадают. В этом случае выражение (2) принимает вид:

$$\left(\frac{\omega}{\gamma}\right)^2 = [H \cos(\theta - \theta_H) + H_i \cos^2 \theta] \times \\ \times [H \cos(\theta - \theta_H) + H_i \cos 2\theta], \quad (3)$$

где $H_i = 2K_{\text{eff}}/M$ — внутреннее эффективное поле, характеризуемое параметром эффективной анизотропии

$$K_{\text{eff}} = K - 2\pi M^2. \quad (4)$$

В наших исследованиях измерения проводились в предельных ориентациях поля при достаточно больших его значениях, когда направление векторов **M** и **H** совпадают, т.е. $\theta_0 = \theta_H$. Тогда выражение (3) переходит в известные формулы Киттеля [5]:

$$\omega/\gamma = H_{\perp} + H_i, \quad (5)$$

когда поле направлено по нормали к плоскости, т.е. $\theta_H = 0$, и

$$(\omega/\gamma)^2 = H_{\parallel}(H_{\parallel} - H_i) \quad (6)$$

для поля в плоскости пленки при $\theta_H = \pi/2$. Из полученных в эксперименте значений резонансных полей были рассчитаны внутренние эффективные поля H_i и параметры магнитной анизотропии K для всех образцов исследуемой серии.

Как следует из определения (4), эффективная магнитная анизотропия формируется двумя основными вкладами — одноосной анизотропией и анизотропией формы образца. Анизотропия формы связана с магнитодипольной энергией пленки $E_d = -2\pi M^2$, минимуму которой соответствует ориентация магнитного момента в плоскости образца, т.е. $\theta = \pi/2$. Одноосная анизотропия чаще всего положительна и конкурирует по знаку с магнитодипольной. Ее минимуму соответствует ориентация момента вдоль нормали к плоскости, т.е. $\theta = 0$.

В свою очередь одноосная анизотропия состоит из объемного и поверхностного вкладов

$$K = K_V + 2 K_S / d_{\text{Co}}, \quad (7)$$

причем последний рассчитывается на единицу толщины магнитного слоя, коэффициент 2 учитывает наличие двух интерфейсов. Объемный вклад в анизотропию может быть также разделен на магнитокристаллическую и магнитоупругую составляющие:

$$K_V = K_{\text{MC}} + K_{\text{ME}}. \quad (8)$$

В итоге суммарной энергии магнитной анизотропии системы будет соответствовать эффективный параметр анизотропии K_{eff} , имеющий вид:

$$K_{\text{eff}} = K_{\text{MC}} + K_{\text{ME}} + 2K_S / d_{\text{Co}} - 2\pi M^2. \quad (9)$$

Дальнейшая цель работы состоит в расчете слагаемых анизотропии и сравнении результата с данными эксперимента для исследуемой серии.

4. Расчет параметров решетки

В исследуемой нами системе Co/Cu имеется заметное несовпадение параметров решетки кобальта и меди. Для меди принято значение $a_{\text{Cu}} = 3,615 \text{ \AA}$ [6], тогда как для пленок ГЦК Co приводятся значения от $a_{\text{Co}} = 3,54 \text{ \AA}$ [7] до $3,543 \text{ \AA}$ [8] (последнее значение практически совпадает с принятым для объемных образцов ГЦК Co $a_{\text{Co}} = 3,544 \text{ \AA}$ [9]). Для расчетов нами использованы значения $a_{\text{Cu}} = 3,61 \text{ \AA}$ и $a_{\text{Co}} = 3,54 \text{ \AA}$, разность которых с наибольшей вероятностью соответствует реальной ситуации. При эпитаксиальном росте слоев Co и Cu друг на друге в зависимости от давления остаточной атмосферы, типа сопрягающихся плоскостей и скорости конденсации могут реализоваться два механизма роста пленок — послойный и островковый. Послойный рост возможен при конденсации пленок в случае высокого вакуума ($< 10^{-9} \text{ Торр}$). При этом сопрягающиеся слои находятся в псевдоморфном состоянии, когда несоответствие параметров кристаллических решеток полностью компенсируется за счет упругой деформации слоев. Такой механизм реализуется в системе Co/Cu (100) [10]. Псевдоморфный рост кристалла, сопровождаемый растяжением одного и сжатием другого слоя, происходит до некоторой толщины конденсирующихся слоев, называемой критической d_c . По мере увеличения толщины слоев при $d \geq d_c$ проявляется механизм, связанный с образованием дислокаций несоответствия. По данным работы [10], для системы Co/Cu (100) критическая толщина слоя кобальта составляет $d_c = 13 \text{ \AA}$. В системе Co/Cu (111) в высоком и низком вакууме при термическом испарении Co и Cu наблюдается островковый рост [11,12]. Однако в высоком вакууме при лазерном испарении Co и Cu наблюдается практически послойное нарастание слоев друг на друге [12]. Для наших сверхрешеток Co/Cu (111) из-за низкого давления аргона при распылении пленок и большой энергии конденсирующихся атомов механизм роста оказался, по-видимому, послойным [13]: на электронограммах нет даже признаков разделения дифракционных колец от меди и кобальта, что свидетельствует о псевдоморфизме в этих сверхрешетках. При этом слои кобальта оказываются растянутыми, а меди — сжатыми. Поэтому для вычислений компонент анизотропии (4) необходима количественная информация о степени искажения решеточных параметров в условиях псевдоморфного интерфейса. Методика соответствующего расчета изложена в работе [14].

В расчетной модели оба контактирующих слоя равномерно напряжены на всем интерфейсе за счет несовпадения параметров решеток кобальта и меди. Упругие деформации рассчитываются из минимума упругой энергии системы, которая в пренебрежении магнитоупругим вкладом имеет вид:

$$\begin{aligned}
 E_{\text{def}} = & f_{\text{Co}} \left(\frac{1}{2} C_{11,\text{Co}} (\varepsilon_{XX,\text{Co}}^2 + \varepsilon_{YY,\text{Co}}^2 + \varepsilon_{ZZ,\text{Co}}^2) + \frac{1}{2} C_{44,\text{Co}} (\varepsilon_{XY,\text{Co}}^2 + \varepsilon_{YZ,\text{Co}}^2 + \varepsilon_{ZX,\text{Co}}^2) + \right. \\
 & + C_{12,\text{Co}} (\varepsilon_{YY,\text{Co}} \varepsilon_{ZZ,\text{Co}} + \varepsilon_{ZZ,\text{Co}} \varepsilon_{XX,\text{Co}} + \varepsilon_{XX,\text{Co}} \varepsilon_{YY,\text{Co}}) \Big) + \\
 & + f_{\text{Cu}} \left(\frac{1}{2} C_{11,\text{Cu}} (\varepsilon_{XX,\text{Cu}}^2 + \varepsilon_{YY,\text{Cu}}^2 + \varepsilon_{ZZ,\text{Cu}}^2) + \frac{1}{2} C_{44,\text{Cu}} (\varepsilon_{XY,\text{Cu}}^2 + \varepsilon_{YZ,\text{Cu}}^2 + \varepsilon_{ZX,\text{Cu}}^2) + \right. \\
 & \left. + C_{12,\text{Cu}} (\varepsilon_{YY,\text{Cu}} \varepsilon_{ZZ,\text{Cu}} + \varepsilon_{ZZ,\text{Cu}} \varepsilon_{XX,\text{Cu}} + \varepsilon_{XX,\text{Cu}} \varepsilon_{YY,\text{Cu}}) \right). \quad (10)
 \end{aligned}$$

Величины f_{Co} и f_{Cu} соответствуют относительному вкладу толщины слоя кобальта d_{Co} и толщины слоя меди d_{Cu} в период сверхрешетки, т.е. $f_i = d_i/(d_{\text{Co}} + d_{\text{Cu}})$. $C_{ij,\text{Co}}$ — константы упругой жесткости кобальта, $C_{ij,\text{Cu}}$ — константы упругой жесткости меди. Величины ε определяют относительные деформации.

Поскольку в исследуемой системе слои кобальта и меди располагаются в плоскости (111), удобно ввести локальную систему координат xuz , которая выбирается так, что ось z перпендикулярна слоям, а оси x и y лежат в плоскости слоя (см. рис. 1).

На поверхности слоев деформации должны устранять решеточные несоответствия, т.е.

$$a_{\text{Co}} (1 + \varepsilon_{ij,\text{Co}}) = a_{\text{Cu}} (1 + \varepsilon_{ij,\text{Cu}}), \quad (11)$$

где i, j — направления x и y в плоскости (111), a — параметры решетки для соответствующих материалов в недеформированном состоянии. Условию равномерного распределения деформаций в плоскости пленки, находящейся в составе псевдоморфной структуры, соответствует выбор $\varepsilon_{x,\text{Co}} = \varepsilon_{y,\text{Co}}$. Поэтому для слоев ГЦК кобальта в системе координатных осей xuz тензор механических напряжений должен выглядеть как

$$\sigma = \sigma_0 \begin{pmatrix} 1 & 0 & 0 \\ 0 & 1 & 0 \\ 0 & 0 & 0 \end{pmatrix}, \quad (12)$$

что приводит к тензору деформаций диагонального вида

$$\varepsilon = \begin{pmatrix} \varepsilon_{11} & 0 & 0 \\ 0 & \varepsilon_{22} & 0 \\ 0 & 0 & \varepsilon_{33} \end{pmatrix} = \frac{\varepsilon_0}{3} \begin{pmatrix} 2S_{11} + 4S_{12} + \frac{S_{44}}{2} & 0 & 0 \\ 0 & 2S_{11} + 4S_{12} + \frac{S_{44}}{2} & 0 \\ 0 & 0 & 2S_{11} + 4S_{12} + S_{44} \end{pmatrix}, \quad (13)$$

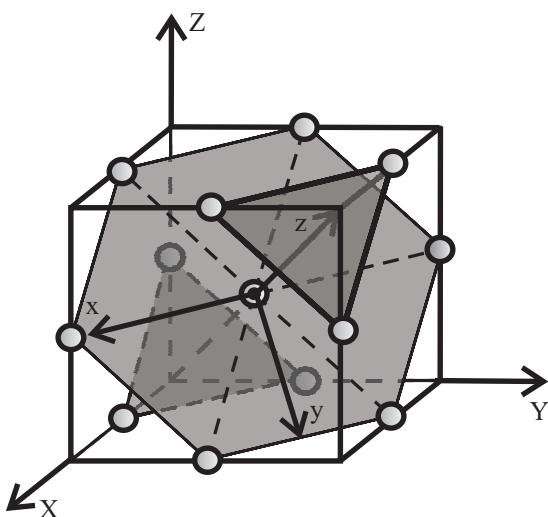


Рис. 1. Взаимная ориентация систем координат xuz и XYZ для ГЦК структуры кобальта.

в котором $\varepsilon_{11} = \varepsilon_{22} \neq \varepsilon_{33}$,

$$S_{11} = \frac{C_{11} + C_{12}}{(C_{11} - C_{12})(C_{11} + 2C_{12})},$$

$$S_{12} = \frac{-C_{12}}{(C_{11} - C_{12})(C_{11} + 2C_{12})},$$

$$S_{44} = \frac{1}{C_{44}}$$

— константы упругой податливости. Для кубической симметрии $S_{11} = S_{22} = S_{33}$; $S_{12} = S_{13} = S_{23}$; $S_{44} = S_{55} = S_{66}$.

Так как выражение для упругой энергии (10) представлено в системе координат XYZ , то компоненты тензора деформаций (13) должны быть также записаны в этой координатной системе. Для этого используются формулы перехода, представленные в [15]. Кроме

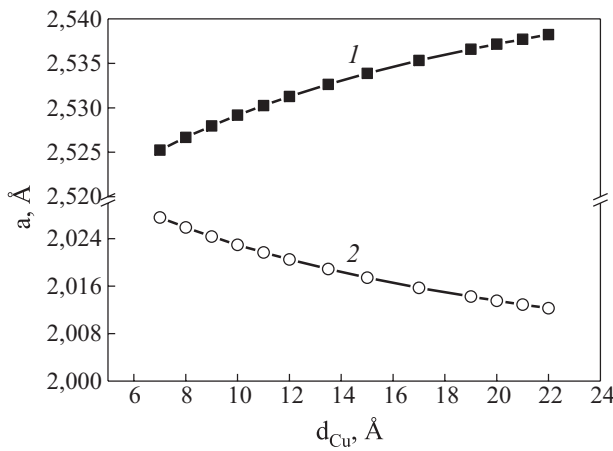


Рис. 2. Расчетные параметры решетки для упруго деформированной ГЦК пленки кобальта в многослойной структуре Co/Cu (111): 1 — параметр решетки в плоскости образца (a_{\parallel}), 2 — перпендикулярно плоскости образца (a_{\perp}).

ме того, компоненты деформаций для меди $\varepsilon_{11,\text{Cu}}$ и $\varepsilon_{22,\text{Cu}}$ должны быть выражены через компоненты деформаций для кобальта $\varepsilon_{11,\text{Co}}$ и $\varepsilon_{22,\text{Co}}$ с помощью выражения (11). В итоге выражение (10) будет содержать три искомых параметра ($\varepsilon_{11,\text{Co}}$, $\varepsilon_{33,\text{Co}}$, $\varepsilon_{33,\text{Cu}}$), и минимум упругой энергии будет определяться стандартным методом путем приравнивания нулю соответствующих производных от E_{def} по этим переменным.

Полученная система из трех уравнений с этими тремя неизвестными решалась численно, для чего были использованы значения упругих констант для кобальта [14] и меди [16].

Исходя из полученных значений относительных деформаций, были рассчитаны фактические параметры решетки для кобальта в плоскости пленки (a_{\parallel}) и в перпендикулярном направлении (a_{\perp}) в исследуемой многослойной структуре в зависимости от толщины слоя меди. Они представлены на рис. 2, демонстрирующем заметное изменение структурных параметров магнитного слоя при изменении толщины немагнитной прослойки.

5. Расчеты слагаемых анизотропии

5.1. Магнитоупругий вклад

В общем случае выражение для магнитоупругой энергии имеет вид [17]:

Таблица 1. Расчетные значения констант магнитоупругой анизотропии для серии образцов [Co(8 Å) / Cu(d_{Cu})]₂₀

$d_{\text{Cu}}, \text{\AA}$	7	8	9	10	11	12	13,5	15	17	19	20	21	22
$K_{\text{ME}}, 10^6 \text{ эрг/см}^3$	1,3381	1,4545	1,5594	1,657	1,7449	1,8278	1,9393	2,0393	2,1573	2,2606	2,3069	2,3517	2,394

$$E_{\text{ME}} = B_1 \left\{ \varepsilon_{XX} (\alpha_1^2 - \frac{1}{3}) + \varepsilon_{YY} (\alpha_2^2 - \frac{1}{3}) + \varepsilon_{ZZ} (\alpha_3^2 - \frac{1}{3}) \right\} + B_2 (\varepsilon_{XY} \alpha_1 \alpha_2 + \varepsilon_{YZ} \alpha_2 \alpha_3 + \varepsilon_{XZ} \alpha_1 \alpha_3), \quad (14)$$

где B_1 и B_2 — магнитоупругие константы для ГЦК кобальта, α_i — значения направляющих косинусов вектора магнитного момента относительно осей X , Y , Z , ε_{ij} — компоненты тензора деформаций.

В направлении, перпендикулярном плоскости пленки, т.е. $\mathbf{M} \parallel \mathbf{z}$, с учетом (13) данное выражение принимает вид:

$$E_{\text{ME}} = -\frac{1}{6} \sigma_0 B_2 S_{44}, \quad (15)$$

в то время как для направления, параллельного плоскости пленки ($\mathbf{M} \parallel \mathbf{x}$, см. рис. 1):

$$E_{\text{ME}} = \frac{1}{12} \sigma_0 B_2 S_{44}. \quad (16)$$

Энергия магнитоупругой анизотропии определяется как разность значений магнитоупругой энергии при ориентациях магнитного момента слоя $\mathbf{M} \parallel \mathbf{x}$ и $\mathbf{M} \parallel \mathbf{z}$:

$$K_{\text{ME}} = \frac{1}{4} \sigma_0 B_2 S_{44}, \quad (17)$$

где $B_2 = 2,6 \cdot 10^8 \text{ эрг/см}^3$ [18] — магнитоупругая константа для ГЦК кобальта.

Коэффициент пропорциональности σ_0 находится из фактического относительного удлинения параметра решетки для кобальта в плоскости слоя (см. (13)):

$$\sigma_0 = \frac{a_{\parallel}^0 - a_{\parallel}}{a_{\parallel} \frac{1}{3} (2S_{11} + 4S_{12} + \frac{S_{44}}{2})}, \quad (18)$$

где $a_{\parallel}^0 = 2,503 \text{ \AA}$ — межатомное расстояние в неискаженном слое кобальта в плоскости (111).

Расчетные значения магнитоупругой энергии K_{ME} для исследованного нами набора образцов представлены в табл. 1.

5.2. Магнитокристаллический вклад

В системе координат XYZ магнитокристаллический вклад в анизотропию записывается как

$$K_{\text{MC}} = K_1 (\alpha_1^2 \alpha_2^2 + \alpha_2^2 \alpha_3^2 + \alpha_3^2 \alpha_1^2). \quad (19)$$

Величина энергии магнитокристаллической анизотропии определялась в работе [19] как разность

энергий при направлениях поля вдоль оси [111] и [100] соответственно. Эта величина составляет $E_a = -0,4 \cdot 10^6$ эрг/см³, откуда значение $K_1 = -1,2 \cdot 10^6$ эрг/см³. Минимуму этой энергии соответствует ориентация магнитного момента вдоль [111], и, следовательно, выражение для константы магнитокристаллической анизотропии имеет вид:

$$K_{MC} = -\frac{1}{3} K_1 \cos^2 \theta. \quad (20)$$

5.3. Поверхностный вклад в магнитную анизотропию

Поверхностный вклад в энергию анизотропии определяется неэквивалентностью связей в перпендикулярном и параллельном слою направлениях, имеющейся для атомов на поверхности [20]. Для многослойной системы значение параметра поверхностной анизотропии зависит от материалов, составляющих структуру, и обычно определяется в эксперименте. Из равенства (9) следует, что произведение $K_{eff} d_{Co}$ является линейной функцией d_{Co} . Как показывают результаты экспериментов, описанных в литературе, эта зависимость в большинстве случаев линейна, она отсекает на оси ординат искомую величину $2K_S$, которая не зависит от толщины магнитных слоев.

Поскольку в нашей серии образцов толщина слоя кобальта фиксирована, мы вынуждены использовать данные литературных источников по системам Co/Cu. В ряде работ [21,22] дается значение константы поверхностной анизотропии $K_S = 0,12$ эрг/см², при этом значение поверхностной энергии $E_S = 2K_S/d_{Co} = 3 \cdot 10^6$ эрг/см³.

5.4. Магнитодипольный вклад

Магнитодипольный вклад E_d в анизотропию тонкопленочного образца полностью определяется значением его намагниченности M при данной температуре. В литературе [23–26] имеется значительный разброс данных по величине этого параметра, который колеблется от ~900 до ~1400 Гс и сильно зависит от толщины ферромагнитных слоев. Это приводит к большой неопределенности в величине E_d , которая зависит от M квадратично, и поэтому мы провели собственные измерения намагниченности для одного из образцов нашей серии.

Для этого был выбран образец с $d_{Cu} = 7$ Å, измерения проводились на промышленном SQUID магнитометре (PPMS фирмы Quantum Design), когда образец оставался при комнатной температуре. Внешнее поле ориентировалось в плоскости пленки.

Кривая 1 на рис. 3 представляет результат непосредственного измерения намагниченности образца, которая является суммой ферромагнитного вклада кобаль-

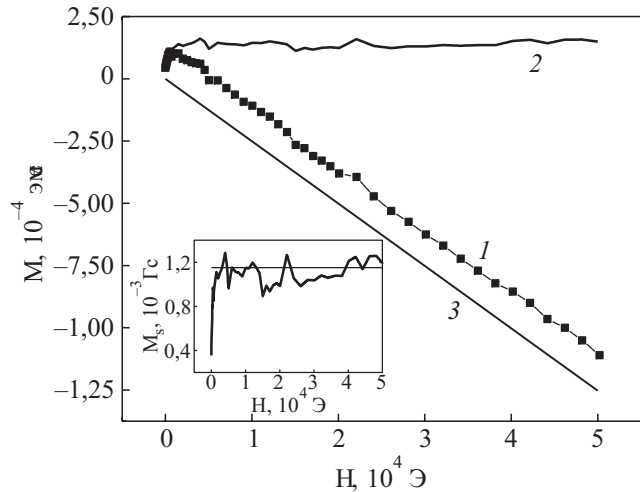


Рис. 3. Зависимость намагниченности образца [Co(8 Å)/Cu(7 Å)]₂₀ от внешнего поля, ориентированного в плоскости пленки, $T = 300$ К: 1 — результат измерения, 2 — зависимость $M(H)$ для кобальта после вычитания диамагнитного вклада, аппроксимированного сплошной линией 3. На вставке показана кривая 2 в более удобном для восприятия масштабе.

та и отрицательного диамагнитного вклада слюдяной подложки и медных прослоек. Вычитание этой линейно нарастающей при увеличении поля диамагнитной составляющей приводит к значению $M_S = (1150 \pm 100)$ Гс для намагниченности насыщения кобальта (рис. 3, вставка). Эта величина использовалась для всех образцов нашей серии, так как толщина слоев кобальта фиксирована. Таким образом, магнитодипольный вклад составляет $E_d = -2\pi M^2 = -8,31 \cdot 10^6$ эрг/см³, и, как указывалось выше, минимуму магнитодипольной энергии $E_d = -2\pi M^2 \sin^2 \theta$ соответствует ориентация момента в плоскости пленки.

6. Результаты расчета и их обсуждение

Таким образом, результирующий параметр эффективной анизотропии и его слагаемые будут иметь вид, соответствующий выражению (9). Расчетные и экспериментальные значения K_{eff} для всех образцов серии представлены на рис. 4. Качественное поведение обеих зависимостей подобно, наблюдается устойчивый рост параметра K_{eff} при увеличении толщины немагнитных слоев (на фоне осцилляций экспериментальной кривой), что является прямым следствием нарастания аксиальных искажений исходной кубической структуры кобальта в условиях псевдоморфизма. Эти значения K_{eff} формируются сравнимыми по величине вкладами и в целом близки к полученным в эксперименте, совпадая с ними по знаку, хотя имеются и заметные количественные расхождения. Причины этих расхождений могут заключаться в следующем.

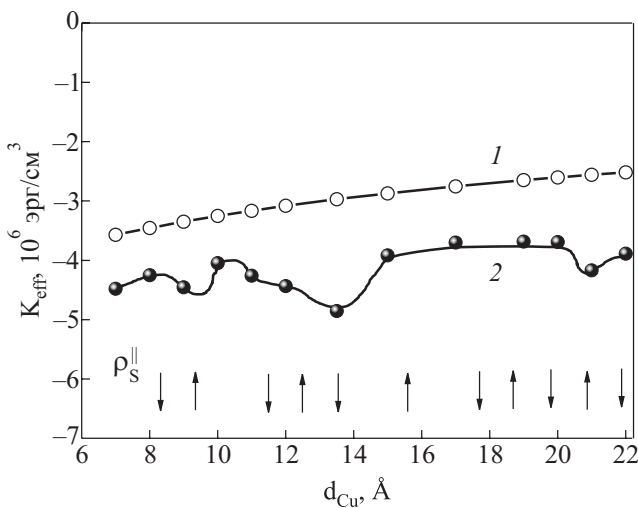


Рис. 4. Зависимости расчетных и экспериментальных значений эффективной магнитной анизотропии от толщины медных прослоек d_{Cu} (кривые 1 и 2 соответственно). Стрелки, направленные вверх и вниз, указывают положение максимумов и минимумов удельного электросопротивления соответствующих сверхрешеток Co/Cu (111) в состоянии насыщения в поле $H = 15$ кЭ как функции d_{Cu} [13]. При расчете K_{eff} использованы значения $E_S = 3 \cdot 10^6$ эрг/см³ и $E_d = -8,31 \cdot 10^6$ эрг/см³.

Данные по магнитоупругим модулям для ГЦК кобальта и магнитокристаллической анизотропии, фигурирующие в ряде современных статей [14,18] и используемые нами, базируются на одном общем источнике — работе [19], где исследовались параметры магнитокристаллической анизотропии и магнитострикции для ГЦК сплавов Co-Pd. Экспериментальные результаты этой работы получены только до концентрации кобальта в сплаве 60% и дальше экспонтировались на 100% концентрацию кобальта. Поэтому оценить погрешность итоговых величин, полученных в нашем расчете, в данных условиях затруднительно.

В проведенном расчете не учитывается влияние шероховатости интерфейсов, всегда присутствующей в реальных системах. В наших сверхрешетках (СР) (Co/Cu) (111) параметр магнитной анизотропии [1], ширина линии ферромагнитного резонанса [1,2], удельное электросопротивление в состоянии насыщения (в поле 15 кЭ) ρ_s^{\parallel} и магнитосопротивление [13] синхронно осциллируют с ростом d_{Cu} . Оказалось, что разброс направлений нормали к поверхности образцов $\Delta\theta$, полученный из анализа ширины линии резонанса и отражающей шероховатость слоев в СР, синхронно повторяет осцилляции $\rho_s^{\parallel}(d_{\text{Cu}})$, причем величина $\Delta\theta$ растет (на фоне осцилляций) по степенному закону [2]. Аналогично характерно для шероховатости СР в процессе увеличения числа периодов

[27]. Это свидетельствует в пользу того, что основной причиной всех осцилляций является немонотонное изменение шероховатости границ раздела слоев в СР. С этим, очевидно, связано постепенное нарастание отклонения расчетных значений K_{eff} от экспериментальных с ростом d_{Cu} .

Согласно теоретическим работам [28,29], в реальных условиях шероховатость интерфейса может на 10–20% менять величину слагаемых выражения (21) и, учитывая разные знаки этих слагаемых, влиять на конечные результаты расчета. Например, в соответствии с [29], относительное снижение поверхностной анизотропии из-за шероховатости поверхности есть $\Delta K_S/K_S = -2\sigma/\xi$, где σ характеризует величину шероховатости, а ξ — средний размер террас и впадин на поверхности. Если взять $\xi \sim 80$ Å (порядок величины размера зерен в наших СР), а $\sigma \sim 1/2$ монослоя Со (~ 1 Å), то $\Delta K_S/K_S$ окажется $\sim 2,5\%$. Реальная шероховатость, по-видимому, заметно больше. В работе [30] для пленок ГЦК Со толщиной 70 и 170 Å, выращенных на подложке Si (001) с 100 нм буферным слоем Cu (001), для магнитной анизотропии K шероховатых пленок по сравнению с гладкими были получены значения $\Delta K/K = 25$ и 8%, тогда как согласно расчету должно было быть 4,3%.

Наконец, уточнение значения M для каждого из образцов исследуемой серии может также привести к уменьшению различий расчетных и экспериментальных величин параметра K_{eff} . Из экспериментов известно, что величина магнитного момента СР в насыщении может быть осциллирующей функцией толщины немагнитных прослоек. Это наблюдалось, например, для СР (Co/Pd) [31] и (Co-Nb/Pd) [32]. Осцилляции магнитного момента связаны с осцилляционной зависимостью поляризации атомов Pd от толщины слоев Pd [33]. Для СР (Co/Cu) такой механизм не может дать сильного эффекта вследствие довольно малой спиновой поляризации слоев меди [34]. Однако намагниченность тонких слоев Со может заметно изменяться из-за шероховатости границ раздела слоев вследствие вариации магнитных моментов атомов Со на границах [35] и появления полей рассеяния, обусловленных шероховатостью границ [36]. В случае наших СР обнаруживается еще одна особенность, не описанная, насколько нам известно, в литературе по магнитным СР, а именно осцилляции намагниченности образцов как функции магнитного поля (см. рис. 3). Аналогичные осцилляции испытывает и угол вращения оси эллипса поляризации света при продольном эффекте Керра [37], причем эти осцилляции следуют универсальным закономерностям для всех образцов (будет опубликовано).

7. Заключение

Для когерентно связанных слоев в сверхрешетках [Co(8 Å)/Cu(d_{Cu})]₂₀ ($d_{\text{Cu}}=7-22$ Å) с использованием феноменологических магнитоупругих констант ГЦК кобальта проведен расчет параметров решетки слоев кобальта. С учетом полученных деформаций в слоях, экспериментально измеренным значением намагниченности насыщения и выбранной величиной константы поверхностной анизотропии сделана оценка величины эффективной магнитной анизотропии исследуемой системы при комнатной температуре. Расчетные значения K_{eff} отличаются от экспериментально полученных нами из спектра ФМР для образцов с соответствующими толщинами меди не более чем на $\approx 38\%$. Расхождение расчетных и экспериментальных значений в значительной степени обусловлено шероховатостью границ раздела слоев, которая не учитывалась в расчете и проявляется в заметных осцилляциях экспериментальных значений K_{eff} при изменении толщины прослоек меди. Проведенный расчет показал важность учета деформаций кубической структуры ГЦК кобальта, приводящих к существенному вкладу в величину K_{eff} .

Следует также заметить, что обсуждаемые псевдоморфные искажения должны реагировать на изменение температуры, поскольку коэффициенты линейного расширения для кобальта и меди заметно различаются. Поэтому соответствующие низкотемпературные исследования в настоящее время проводятся.

Работа была поддержана НАН Украины в рамках программы «Наноструктурные системы, наноматериалы, нанотехнологии», грант № 3-026/2001, и Министерством образования и науки Украины.

1. А.И. Каплиенко, Э.П. Николова, К.В. Кутько, А.Г. Андерс, В.В. Зорченко, А.Н. Стеценко, *ФНТ* **31**, 471 (2005) [*Low Temp. Phys.* **31**, 358 (2005)].
2. K.V. Kutko, A.I. Kaplienko, E.P. Nikolova, A.G. Anders, V.V. Zorchenko, and A.N. Stetsenko, *Funct. Mater.* **15**, 350 (2008).
3. J. Smith and H.G. Beljers. *Philips Res. Rep.* **10**, 113 (1955); H. Suhl, *Phys. Rev.* **97**, 555 (1955).
4. А.Г. Гуревич, *Магнитный резонанс в ферритах и антиферромагнетиках*, Наука, Москва (1973).
5. C. Kittel, *Phys. Rev.* **73**, 155 (1948).
6. D.N. Batchelder and R.O. Simmons, *J. Appl. Phys.* **36**, 2864 (1965).
7. M.T. Kief and W.F. Egelhoff, Jr., *Phys. Rev.* **B47**, 10785 (1993).
8. J.R. Cerda, P.L. de Andres, A. Cebollada, R. Miranda, E. Navas, P. Schuster, C.M. Schneider, and J. Kirschner, *J. Phys.: Condens. Matter* **5**, 2055 (1993).
9. *Powder Diffraction File*, International Center for Diffraction Data, Card 15-0806 for cubic cobalt.

10. A.I. Fedorenko and R. Vincent, *Philos. Mag.* **24**, 55 (1971).
11. J. de la Figuera, J.E. Prieto, C. Ocal, and R. Miranda, *Phys. Rev.* **B47**, 13043 (1993); N.N. Negulyaev, V.S. Stepanyuk, P. Bruno, L. Diekhuner, P. Wahl, and K. Kern, *Phys. Rev.* **B77**, 125437 (2008).
12. J. Shen and J. Kirschner, *Surf. Sci.* **500**, 300 (2002).
13. В.В. Зорченко, А.Н. Стеценко, А.Г. Андерс, К.В. Кутько, *ФНТ* **31**, 665 (2005) [*Low Temp. Phys.* **31**, 358 (2005)].
14. B. Hillebrands and J.R. Dutcher, *Phys. Rev.* **B47**, 6126 (1993).
15. Дж. Най, *Физические свойства кристаллов*. Изд-во иностр. литературы, Москва (1960).
16. Ч. Киттель. *Введение в физику твердого тела*, Физматгиз, Москва (1962); W.C. Overton, Jr., and J. Gaffney, *Phys. Rev.* **98**, 969 (1955).
17. С. Тикадзуми, *Физика ферромагнетизма, магнитные характеристики и практические применения*, Мир, Москва (1987).
18. D.S. Chuang, C. A. Ballentine, and R.C. O'Handley, *Phys. Rev.* **B49**, 15084 (1994).
19. H. Fujiwara, H. Kadomatsu, and T. Tokunaga, *J. Magn. Magn. Mater.* **31-34**, 809 (1983).
20. L. Neel, *J. Phys. Radium (Paris)* **15**, 225 (1954).
21. Z.S. Shan, S. Nafis, J. Woollam, S.H. Liou, and D.J. Sellmyer, *J. Appl. Phys.* **73**, 6347 (1993).
22. F.J.A. den Broeder, W. Hoving, and P.J.H. Bloemen, *J. Magn. Magn. Mater.* **93**, 562 (1991).
23. L. Albini, G. Carlotti, G. Gubbiotti, L. Paret, and G. Turilli, *J. Magn. Magn. Mater.* **198-199**, 363 (1999).
24. T.R. McGuire, J.M. Harper, C. Cabral, Jr., and T.S. Plaskett, *J. Appl. Phys.* **76**, 6601 (1994).
25. F.J.A. Broeder, W. Hoving, and P.J.H. Bloemen, *J. Magn. Magn. Mater.* **93**, 562 (1991).
26. B.N. Engel, C.D. England, R.A. Van Leeuwen, M.H. Wiedmann, and C.M. Falco, *Phys. Rev. Lett.* **67**, 1910 (1991).
27. Z.-J. Liu and Y.G. Shen, *Appl. Phys. Lett.* **84**, 5121 (1994).
28. P. Bruno and J.P. Renard, *Appl. Phys.* **A49**, 499 (1989); C. Chappert and P. Bruno, *J. Appl. Phys.* **64**, 5736 (1988); Ching-Ray Chang, *J. Appl. Phys.* **72**, 596 (1992).
29. P. Bruno, *J. Phys. F: Met. Phys.* **18**, 1291 (1988).
30. S.J. Steinmuller, C.A.F. Vaz, V. Strum, C. Moutafis, D.H.Y. Tse, C.M. Gartler, M. Kildi, J.A.C. Bland, and Z. Cui, *Phys. Rev.* **B76**, 054429 (2007).
31. W.R. Bennett, C.D. England, D.C. Person, and C.M. Falco, *J. Appl. Phys.* **69**, 4384 (1991); D.G. Stinson and S.C. Shin, *J. Appl. Phys.* **67**, 4459 (1990).
32. Shi-shen Yan, Yi-hua Liu, and Liang-mo Mei, *Phys. Rev.* **B52**, 1107 (1995).
33. R.H. Victora and J.M. MacLaren, *J. Appl. Phys.* **69**, 5652 (1991); K. Miura, H. Kimura, S. Imanaga, and Y. Hayafuji, *J. Appl. Phys.* **72**, 4826 (1992); D. Stoeffler, K. Ounadjela, J. Sticht, and F. Gautier, *Phys. Rev.* **B49**, 299 (1994).

34. Q.Y. Jin, H.R. Zhai, Y.B. Xu, Y. Zhai, M. Lu, S.M. Zhou, J.S. Payson, G.L. Dunifer, R. Naik, and G.W. Auger, *J. Appl. Phys.* **77**, 3971 (1995).
35. A.V. Smirnov and A.M. Bratkovsky, *Phys. Rev.* **B54**, R17371 (1996).
36. R. Arias and D.L. Mills, *Phys. Rev.* **B59**, 11871 (1999); Y.-P. Zhao, G. Palasantzas, G.-C. Wang, and J.Th.M. De Hosson, *Phys. Rev.* **B60**, 1216 (1999).
37. И.Н. Лукиенко, Н.Ф. Харченко, В.В. Зорченко, А.Н. Стеценко, *ФНТ* **33**, 1304 (2007) [*Low Temp. Phys.* **33**, 993 (2007)]; I.M. Lukienko, M.F. Kharchenko, V.V. Zorchenko, A.N. Stetsenko, *Funct. Mater.* **15**, 56 (2008).

Magnetic anisotropy of superlattices
Co/Cu (111): calculation and experiment

K.V. Kutko, A.I. Kaplienko, E.P. Nikolova,
A.G. Anders, V.V. Zorchenko,
A.N. Stecenko, and M. Kajňakova

The theoretical and the experimental results on effective magnetic anisotropy K_{eff} (obtained from the measurements of ferromagnetic resonance) of Co/Cu (111) superlattices are presented. The samples of series [Co(8 Å)/Cu(d_{Cu})]₂₀ ($d_{\text{Cu}} = 7\text{--}22 \text{ \AA}$) with coherent conjugation of Co and Cu layers were pro-

duced by magnetron sputtering. The experimental values of K_{eff} is an oscillating function of copper layers thickness d_{Cu} . The qualitative behaviors of the calculated and measured dependences K_{eff} (d_{Cu}) are similar. It is found that the parameter K_{eff} increases steadily with thickness of nonmagnetic layers and the experimental curve is supplemented by oscillations. This is a direct consequence of the growth of axial distortion of the original cubic structure of cobalt in a pseudomorphic state. The causes of oscillations of K_{eff} value are discussed. The main of these is the oscillating behavior of interlayer interface roughness with increasing d_{Cu} . The consequences of this are synchronous oscillations of K_{eff} , resistivity, magnetoresistivity and width of ferromagnetic resonance line.

PACS: **75.70.-i** Magnetic properties of thin films, surfaces, and interfaces;
75.30.Gw Magnetic anisotropy;
76.50.+g Ferromagnetic, antiferromagnetic, and ferrimagnetic resonances; spin-wave resonance .

Keywords: magnetic superlattices, ferromagnetic resonance, magnetic anisotropy, pseudomorphic state.